

3. С. В. Бухман. Изв. АН БССР, ФЭН, 1969, 1, 123.
4. В. И. Букатый, А. М. Сагалаков и др. ФГВ, 1979, 15, 6, 46.
5. Н. Б. Варгафтик. Справочник по теплофизическим свойствам газов и жидкостей. М.: Наука, 1972.
6. Е. П. Жданов, А. М. Шайдук. II совещание по атмосферной оптике. Томск, 1980.
7. А. В. Кузиковский, В. А. Погодаев. ФГВ, 1977, 13, 5, 783.
8. А. Минсар. Теплопроводность твердых тел, жидкостей, газов и их композиций. М.: Мир, 1968.
9. В. И. Букатый, И. А. Суторихин. Матер. VI Всесоюз. симпозиума по горению и взрыву. Черноголовка, 1980.

**ИССЛЕДОВАНИЕ РАЗМЕРНОГО ЭФФЕКТА  
ПРИ ЛАЗЕРНОМ ИНИЦИРОВАНИИ  
ПРЕССОВАННОГО АЗИДА СВИНЦА. ВЛИЯНИЕ РАСПРЕДЕЛЕНИЯ  
СВЕТОВОЙ ЭНЕРГИИ НА ПОВЕРХНОСТИ ВВ  
НА КРИТИЧЕСКИЕ СВЕТОВЫЕ ПОТОКИ**

*Е. И. Александров, В. П. Ципилев*

(Томск)

В работе [1] высказано предположение, что основные закономерности размерного эффекта, наблюдавшиеся при лазерном инициировании прессованного азота свинца в условиях равномерного освещения в пятне круговой формы, определяются диффузным характером рассеяния света взрывчатым веществом. В данной работе обобщаются результаты указанных исследований на случай неравномерного освещения поверхности ВВ в пятне произвольной формы. В основу формируемых в [1] модельных представлений положена предпосылка о существовании критической глубины  $Z_0$  залегания очага разогрева, необходимой для успешного развития в очаг инициирования и слабо зависящей от его начальных параметров. В силу этого при описании процесса облова взрыва в первом приближении можно ограничить условиями

$$D \geq D_0, \quad Z \geq Z_0, \quad (1)$$

где  $D$  — количество освещения в объеме образца.

По-прежнему будем исходить из того, что при малых размерах пятна облучения освещенность в объеме среды с глубиной монотонно спадает, поэтому вблизи порога возбуждения взрыва возникновение очагов инициирования будет иметь место в плоскости  $Z_0$ .

Рассмотрим световой импульс, перпендикулярно падающий на элементарную площадку поверхности полусферического слоя диффузно рассеивающего ВВ. В результате рассеяния света в плоскости  $Z_0$  создается определенное распределение количества освещения, которое, будучи нормированным на энергию светового импульса, описывается некоторой гладкой осесимметричной функцией  $f_0(r)$ , имеющей максимум при  $r = 0$ . При этом нормированное на энергию падающего импульса значение количества освещения в любой точке  $(X, Y)$  плоскости  $Z_0$  при освещении поверхности образца пучком света произвольного сечения  $s$  с распределением плотности энергии на облучаемой поверхности ВВ по закону  $H(x, y) = H_{\varphi}(x, y)$  можно представить в виде свертки

$$f_s(X, Y) = \frac{\int_s f_0(\sqrt{(X-x)^2 + (Y-y)^2}) \varphi(x, y) ds}{\int_s \varphi(x, y) ds}. \quad (2)$$

Если имеет место (1), в качестве критического условия взрыва можно записать:

$$W_0(s) \cdot f_s(X_0, Y_0) = D_0, \quad (3)$$

где  $W_0(s)$  — критическая энергия инициирования для пучка света заданного профиля;  $X_0, Y_0$  — координаты точки в плоскости  $Z_0$ , в которой функция  $f_s(X, Y)$  принимает максимальное значение.

В частности, для случая равномерного освещения в пятне радиуса  $R$  [1] условие (3) приобретает вид

$$\frac{2W_0(r) \int_0^R f_0(r) r dr}{R^2} = D_0.$$

Воспользовавшись дифференцированием по верхнему пределу, находим

$$f'_0(r) = \frac{2f_0(r)}{L_0} = \frac{1}{r} \frac{d}{dr} \frac{r^2}{W_0(r)}, \quad (4)$$

где зависимость  $f'_0(r)$  может быть определена из экспериментальных данных [1].

Следовательно, если условие (1) достаточно близко отражает реальную картину, энергия светового импульса, требуемая для инициирования ВВ в любом отличном от [1] случае может быть оценена как

$$W_0(s) = \frac{2 \int_s^\infty \varphi(x, y) ds}{\int_s^\infty f'_0(\sqrt{(X_0 - x)^2 + (Y_0 - y)^2}) \varphi(x, y) ds}. \quad (5)$$

Расширяя понятие критической плотности энергии на случай неоднородного распределения света на облучаемой поверхности объекта и определяя ее как  $H_0 = H_{\max}(x, y)$  на пороге инициирования, и используя равенства

$$W_0(s) = \frac{\int_s^\infty H_0 \cdot \varphi(x, y) ds}{\varphi_{\max}(x, y)}$$

находим

$$H_0(s) = \frac{2\varphi_{\max}(x, y)}{\int_s^\infty f'_0(\sqrt{(X_0 - x)^2 + (Y_0 - y)^2}) \varphi(x, y) ds}.$$

Результаты численного расчета  $f'_0(r)$  по данным [1] представлены на рис. 1. На участке  $r < 10^{-3}$  см кривая получена экстраполяцией с учетом следующих условий: при  $r \rightarrow 0$

$$\lim W_0(r) \rightarrow \text{const}, \quad \lim r \cdot f'_0(r) \rightarrow 0, \quad \lim \frac{d}{dr} r \cdot f'_0(r) \rightarrow 0.$$

Для  $r < 10^{-3}$  см значение функции  $r \cdot f'_0(r)$ , характеризующей относительный вклад в освещенность в точке  $r = 0$  кольцевой зоны радиуса  $r$ , при  $r \rightarrow 0$  быстро стремится к нулю, и ошибки в оценках (4), (5), способные возникнуть из-за возможного неточного соответствия истинных значений функции  $f'_0(r)$  и полученных путем экстраполяции при размерах облучаемой зоны  $r \gg 10^{-3}$  см, пренебрежимо малы. При  $r \leq 10^{-3}$  см значение  $W_0(r)$  выходит на стационарный уровень, пучок можно считать бесконечно узким и распределение освещенности в плоскости  $Z_0$  перестает зависеть от формы облучаемой зоны и распределения в ней светового потока.

Экспериментальная проверка предлагаемой оценки (5), точность которой ограничена точностью опытов [1] и приближения (1), осуществлена при инициировании прессованного азота свинца излучением одномодового неодимового лазера, сформированным на облучаемой поверхности проекционным методом [3] в пятно прямоугольной формы длиной  $9 \cdot 10^{-2}$  см и переменной ширины при гауссовом распределении плотности

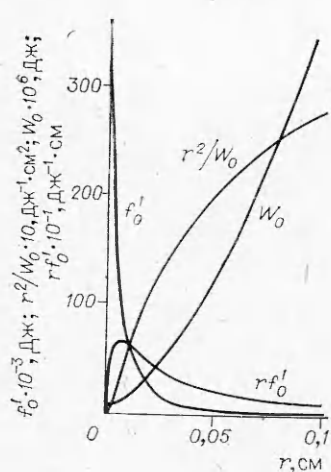


Рис. 1. Зависимости  $f'_0$ ,  $r^2/W_0$ , критической энергии инициирования  $W_0$  (по данным [1]) и  $rf'_0$  от текущего радиуса.

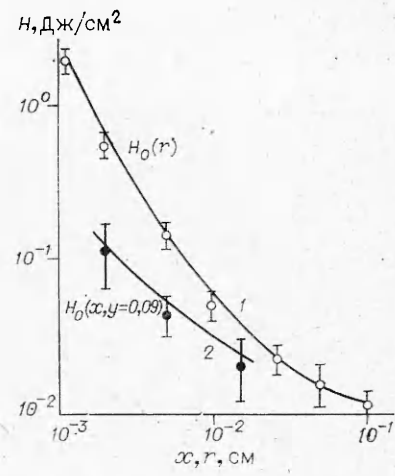


Рис. 2. Зависимости критической плотности энергии инициирования азота свинца от размеров облучаемой зоны.  
1 — круг радиуса  $r$  [1]; 2 — прямоугольник длиной  $9 \cdot 10^{-2}$  см и шириной  $2x$  (кривая расчет).

энергии  $H = H_1 \exp(-r^2/2r_0^2)$ , где  $r = 3,6 \cdot 10^{-2}$  см. Все прочие условия и схема эксперимента аналогичны [1].

Результаты эксперимента показаны на рис. 2, 2. Экспериментальные точки отвечают вероятности взрыва  $\omega = 0,5$ . Величины интервалов, указанные на рис. 2, равны котангенсу угла наклона касательной к зависимости вероятности взрыва от величины светового потока в точке  $\omega = 0,5$  и характеризуют величину зоны вероятностного инициирования.

Соответствие полученных экспериментальных и рассчитанных по формуле (5) данных подтверждает правомерность использования модельных представлений [1] о природе размерного эффекта и выдвигаемых для его описания допущенных (1), стимулируя, таким образом, попытки количественного подхода к проблеме лазерного инициирования.

Поступила в редакцию 21/IV 1982

#### ЛИТЕРАТУРА

1. Е. И. Александров, В. П. Ципилев. ФГВ, 1980, 17, 5, 77.
2. Т. Х. Джеймс. Теория фотографического процесса. Л.: Химия, 1980.
3. В. П. Вейко, Н. Либенсон. Лазерная обработка. Л., 1973.

## МАССООБМЕН И ГОРЕНИЕ В ЛАМИНАРНОМ ПОГРАНИЧНОМ СЛОЕ ЗА УДАРНОЙ ВОЛНОЙ ПРИ РАСПРОСТРАНЕНИИ ДЕТОНАЦИИ В НЕПЕРЕМЕШАННЫХ ДВУХФАЗНЫХ СИСТЕМАХ

Н. Н. Смирнов  
(Москва)

При рассмотрении вопросов пожаро- и взрывоопасности гетерогенных систем, образующихся при контакте окислителя со слоем жидкого или твердого горючего материала, возникает необходимость исследовать условия развития и распространения детонации в таких системах. Проводимые в настоящее время обширные экспериментальные и теоретические исследования [1—8] детонации в таких неперемешанных двухфазных